

(12) 特許協力条約に基づいて公開された国際出願

(19) 世界知的所有権機関

国際事務局

(43) 国際公開日

2019年12月26日 (26.12.2019)



訓圓

国際公開番号

¥0 2019/244756 入1

W I P O I P C T

(51) 国際特許分類 :
0090 1/00 (2006.01)

(21) 国際出願番号 : P(: 171?2019/023390

(22) 国際出願日 : 2019年6月13日 (13.06.2019)

(25) 国際出願の言語 : 日本語

(26) 国際公開の言語 : 日本語

(30) 優先権データ :
特願 2018-1 16576 2018年6月20日 (20.06.2018) JP

(71) 出願人 : 日本電信電話株式会社 (NIPPON TELEGRAPH AND TELEPHONE CORPORATION) [JP/JP] ; 〒10081 16 東京都千代田区大手町一丁目5番1号 Tokyo (JP).

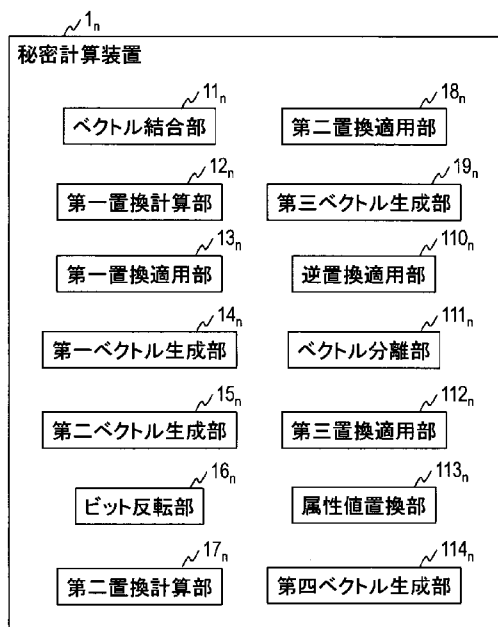
(72) 発明者 : 五十嵐 大 (IKARASHI ,Dai) ; 〒1808585 東京都武蔵野市緑町三丁目9番11号 NTT 知的財産センタ内 Tokyo (JP). 濱田 浩気 (HAMADA ,Koki) ; 〒1808585 東京都武蔵野市緑町三丁目9番11号 NTT 知的財産センタ内 Tokyo (JP).

(74) 代理人 : 中尾 直樹, 外 (八木 KA0 , Naoki et al.) ; 〒1600022 東京都新宿区新宿三丁目1番22号 新宿駅前ビル6階 TCB (地)

(81) 指定国 (表示のない限り、全ての種類の国内保護が可能) : 处, 人ら 人レ AM, 人〇, 人丁, 人11, 心, 6人 66, 60, 611, BN, BR, 6W, BY, 似, ○ん ○し, ○,, ○00, CH1, 01, CZ, 0 ¾ ○1, ○反, 0 ¾/[, ○○, DZ, EC, EE, EG, ES, ?1,06, GD, 0 ¾ 011, 0 ¾/[, 0 T;

(54) Title: SECRET COMBINATION SYSTEM, METHOD, SECRET CALCULATION DEVICE, AND PROGRAM

(54) 発明の名称 : 秘密結合システム、方法、秘密計算装置及びプログラム



1_n Secret calculation device
11_n Vector combination unit
12_n First permutation calculation unit
13_n First permutation application unit
14_n First vector generation unit
15_n Second vector generation unit
16_n Bit inversion unit
17_n Second permutation calculation unit
18_n Second permutation application unit
19_n Third vector generation unit
110_n Inverse permutation application unit
111_n Vector separation unit
112_n Third permutation application unit
113_n Attribute value permutation unit
114_n Fourth vector generation unit

図 2

(57) Abstract: This secret combination system includes a plurality of secret calculation devices, and the plurality of secret calculation devices are each provided with a vector combination unit 11_n, a first permutation calculation unit 12_n, a first permutation application unit 13_n, a first vector generation unit 14_n, a second vector generation unit 15_n, a bit inversion unit 16_n, a second permutation calculation unit 17_n, a second permutation application unit 18_n, a third vector generation unit 19_n, an inverse permutation application unit 110_n, a vector

2019/24476 A1
WO

11凡 1111, 1111, 10, 1レ 1凡 III, IS, X), 正 现 , 反○, 101,
 KN, 1¼ 101, 反界, KZ, し八, し○, 1^, 1,11, 1, S, 风 1,Y,
 Mん MD, 嫌 MG, MK, 丽], ^, MX, MY, MZ,
 贼 如 , N1, N0, 似 , ○] ^, PE, 戸, □11, □し, □丁,
 5 人 110, 118, 1111, 尺界 , 8人 8(, 80, SE, 80, 81^, SL,
 81^, 81 ; SV, 8义 111, 17, TM, 1^, 711, 丁丁, 丁¼ 11八,
 110, 1JS, 11¾ 见 VN, Σん 元M, 界 .

(84) 指定国(表示のない限り、全ての種類の広域保護が可能): AR₁₀₀ 田界, 011, 01[^], 反% 11[^], 1[^], JM界, MZ, NA, 尺界, 80, SL, 81; SZ, TΣ, 110, ZM, ZW), ヨーラシア(AM, AZ, BY, KG, KZ, RU, TJ, TM), ヨーロッパ(AL, AT, BE, BG, CH, CY, CZ, DE, 0 K, £ % £81[^], 尸艮 03, 011, 1111, 1111, 1% IS, II; 1T, 11, 1[^]/, MC, MK, MT, 见, №, №レ, №丁, 110, 118, 8% 81, 8K, 81[^], 见), 0 处 1 田 3 1, ○尸, 00, ○, ○, ○M, 。ん。凡 GQ, GW, 疆, 他, 1[^]11, 呢 SN, TD, T,)。

添付公開書類

- 国際調査報告 (条約第21条(3))

separation unit 111_n , a third permutation application unit 112_n , an attribute value permutation unit 113_n , and a fourth vector generation unit 114_n .

(57)要約：秘密結合システムは、複数の秘密計算装置を含む秘密結合システムであって、複数の秘密計算装置は、ベクトル結合部111、第一置換計算部112、第一置換適用部113、第一ベクトル生成部114、第二ベクトル生成部115、ビット反転部116、第二置換計算部117、第二置換適用部118、第三ベクトル生成部119、逆置換適用部1110、ベクトル分離部1111、第三置換適用部1112、属性値置換部1113及び第四ベクトル生成部1114を備えている。

明細書

発明の名称：

秘密結合システム、方法、秘密計算装置及びプログラム

技術分野

[0001] この発明は、秘密計算技術に関する。この発明は、特に、秘匿性を保ったまま2つのテーブルを結合する技術に関する。

背景技術

[0002] 秘密計算技術の分野において、秘匿性を保ったまま2つのテーブルを結合する技術が求められている。

[0003] 秘匿性を保ったまま2つのテーブルを結合する技術として、例えば非特許文献1に記載された技術が知られている。非特許文献1では、キー重複ありの場合の等結合が実現されている。

先行技術文献

非特許文献

[0004] 非特許文献1：桐淵直人、五十嵐大、諸橋玄武、濱田浩気、「属性情報と履歴情報の秘匿統合分析に向けた秘密計算による高速な等結合アルゴリズムとその実装」、0552016, 2016

発明の概要

発明が解決しようとする課題

[0005] この発明は、キー重複がない場合に非特許文献1の技術よりも高速に秘匿性を保ったまま2つのテーブルを結合する秘密結合システム、方法、秘密計算装置及びプログラムを提供することである。

課題を解決するための手段

[0006] この発明の一態様による秘密結合システムは、複数の秘密計算装置を含む秘密結合システムであって、 Δ は任意の環であり、《を任意のベクトルとして[「」は《が秘密分散されたシェアであり、 β を任意の置換として $\{\beta\}$ 》は β

が秘密分散されたシェアであり、 m_0, m_1, L_0, L_1 は1以上の整数であり、 $k_0 \in F^{m_0}$ は第一テーブルのキーのベクトルであり、 $k_1 \in F^{m_1}$ は第二テーブルのキーのベクトルであり、 $\alpha = 0, \dots, L_0 - 1$ として $V_{0,\alpha}$ は第一テーブルの属性口の属性値のベクトルであり、 $\alpha = 0, \dots, L_1 - 1$ として $V_{1,\alpha} \in F^{m_1}$ は第二テーブルの属性口の属性値のベクトルであり、 $71_{10}, 71_{10}$ はそれぞれ長さ $111_0, 111_0$ の所定の置換であり、複数の秘密計算装置は、ベクトル k_0 のシェア $[>_0]$ 及びベクトル k_1 のシェア $[>_1]$ を用いて、ベクトル k_0 及びベクトル k_1 を結合したベクトル $k' \in [F]^{m_0+m_1}$ のシェア $[>']$ を生成する複数のベクトル結合部と、シェア $[>]$ を用いて、ベクトルビを昇順に安定ソートする置換 ε_7 のシェア $\{(\varepsilon_7)\}$ を生成する複数の第一置換計算部と、シェア $[>_1]$ 及びシェア $\{(\varepsilon_7)\}$ を用いて、ベクトル k' に置換 ε を適用したベクトル ε_7 (ビ) のシェア $[\varepsilon_7 \text{ ひ}]$ を生成する複数の第一置換適用部と、シェア $[\varepsilon_7 \text{ ひ}]$ を用いて、ベクトル ε_7 (ビ) のある要素とそのある要素の次の要素とが、同じ場合には 1 を、違う場合には 0 をそのある要素に対応する要素として持つベクトル 6 のシェア $[>]$ を生成する複数の第一ベクトル生成部と、シェア $[>]$ を用いて、ベクトル ε_7 (ビ) のある要素とそのある要素の前の要素の一方が 1 の場合には 1 を、そうでない場合には 0 をそのある要素に対応する要素として持つベクトル 6 のシェア $[>]$ を生成する複数の第二ベクトル生成部と、シェア $[>']$ を用いて、ベクトル 6 の各要素をビット反転させたベクトル e' のシェア $[e']$ を生成する複数のビット反転部と、シェア $[>']$ を用いて、ベクトル 6' を昇順に安定ソートする置換 ε のシェア $\{(\varepsilon)\}$ を生成する複数の第二置換計算部と、シェア $[>']$ 及びシェア $\{(\varepsilon)\}$ を用いて、ベクトル 6' に置換 ε を適用したベクトル ε (ゲレ) のシェア $[\varepsilon \text{ (ゲレ)}]$ を生成する複数の第二置換適用部と、シェア $[\varepsilon \text{ (ゲレ)}]$ を用いて、ベクトル ε (ゲレ) のある要素 ε (ゲレ) の 0 である場合には ε (ゲレ) を、0 でない場合には 0 をそのある要素に對応する要素として持つベクトル X のシェア $[>]$ を生成する複数の第三ベクトル生成部と、シェア $[X]$ 、シェア $\{(\varepsilon)\}$ 及びシェア $\{(\varepsilon')\}$ を用いて、ベクトル X に置換 ε の逆置換 ε^{-1} 及び置換 ε' の逆置換 ε'^{-1} を適用したベクトル $\varepsilon^{-1}(\varepsilon'^{-1}(X))$ のシェア $[\sigma^{-1}(\sigma'^{-1}(x))]$ を生成する複数の逆置換適用部と、シェア $[\sigma^{-1}(\sigma'^{-1}(x))]$

を用いて、ベクトル $\pi^{-1}(\pi^{-1}(h))$ の先頭から叫個の要素からなるベクトル s_0 のシェア $[s_0]$ と、ベクトル $\pi^{-1}(\pi^{-1}(h))$ の残りの m 個の要素からなるベクトル s_1 のシェア $[s_1]$ を生成する複数のベクトル分離部と、シェア $[s_0]$ 、シェア $[s_1]$ 及び置換冗 τ_0, τ_1 を用いて、ベクトル s_0 に置換 τ_0 を適用したベクトル $\pi_0 := \tau_0(s_0)$ のシェア $[\pi_0(s_0)]$ と、ベクトル s_1 に置換 π_1 を適用したベクトル $\pi_1 := \pi_1(s_1)$ のシェア $[\pi_1(s_1)]$ を生成して、 $\pi_0 := \pi_0(s_0)$ 及び $\pi_1 := \pi_1(s_1)$ を公開する複数の第三置換適用部と、置換 Σ_0 のシェア $\{\{\tau_0\}\}$ 、置換 τ_1 のシェア $\{\{\tau_1\}\}$ 、ベクトル $s_{0,p}$ のシェア $[\pi_0]$ 及びベクトル $v_{0,q}$ のシェア $[v_{0,q}]$ を用いて、第一テーブルの各属性口の属性値のベクトル $s_{0,p}$ を置換 π_0 で置換したベクトル $s'_{0,p}$ のシェア $[\pi_0]$ と、第二テーブルの各属性口の属性値のベクトル $v_{0,q}$ を置換 π_1 で置換したベクトル $v'_{0,q}$ のシェア $[\pi_1]$ を生成する複数の属性値置換部と、ベクトル π_0 、ベクトル Σ_0 、シェア $[\pi_0]$ 及びシェア $[\pi_1]$ を用いて、ベクトル Σ_0 の i 番目の要素が 0 でない場合にはベクトル $s'_{0,p}$ の i 番目の要素を $i-1$ 番目の要素として持つベクトル $v'_{0,p}$ のシェア $[\pi_0]$ と、ベクトル π_1 の i 番目の要素が 0 でない場合にはベクトル $v'_{0,q}$ の i 番目の要素を $i-1$ 番目の要素として持つベクトル $v'_{0,q}$ のシェア $[\pi_1]$ を生成する複数の第四ベクトル生成部と、を備えている。

発明の効果

[0007] 逆置換を用いることで、キー重複がない場合に非特許文献 1 の技術よりも高速に秘匿性を保ったまま 2 つのテーブルを結合することができる。

図面の簡単な説明

[0008] [図 1] 図 1 は、秘密結合システムの機能構成を例示する図である。

[図 2] 図 2 は、秘密計算装置の機能構成を例示する図である。

[図 3] 図 3 は、秘密結合方法の処理手続きを例示する図である。

[図 4] 図 4 は、コンピュータの機能構成例を示す図である。

発明を実施するための形態

[0009] 以下、この発明の実施の形態について詳細に説明する。なお、図面中において同じ機能を有する構成部には同じ番号を付し、重複説明を省略する。

- [001 0] 図 1 を参照して、実施形態の秘密結合システムの構成例を説明する。秘密結合システムは、 $N (\geq 2)$ 台の秘密計算装置 $1_1, \dots, 1_N$ を含む。本形態では、秘密計算装置 $1_1, \dots, 1_N$ はそれぞれ通信網 2 へ接続されている。通信網 2 は、接続される各装置が相互に通信可能なように構成された回線交換方式もしくはバケット交換方式の通信網であり、例えばインターネットや LAN (Local Area Network)、WAN (Wide Area Network) などである。なお、各装置は必ずしも通信網 2 を介してオンラインで通信可能である必要はない。例えば、秘密計算装置 $1_1, \dots, 1_N$ へ入力する情報を磁気テープや USB メモリなどの可搬型記録媒体に記憶し、その可搬型記録媒体から秘密計算装置 $1_1, \dots, 1_N$ へオフラインで入力するように構成してもよい。
- [001 1] 図 2 を参照して、秘密結合システムに含まれる秘密計算装置 1_n ($n=1, \dots, N$) の構成例を説明する。秘密結合システムの秘密計算装置 1_n は、例えば、図 2 に示すように、ベクトル結合部 1_{1n} 、第一置換計算部 1_{2n} 、第一置換適用部 1_{3n} 、第一ベクトル生成部 1_{4n} 、第二ベクトル生成部 1_{5n} 、ビット反転部 1_{6n} 、第二置換計算部 1_{7n} 、第二置換適用部 1_{8n} 、第三ベクトル生成部 1_{9n} 、逆置換適用部 1_{10n} 、ベクトル分離部 1_{11n} 、第三置換適用部 1_{12n} 、属性値置換部 1_{13n} 及び第四ベクトル生成部 1_{14n} を備えている。
- [001 2] 秘密計算装置 1_n ($1 \leq n \leq N$) の各構成部が他の秘密計算装置 $1_{n'}$ ($n' = 1, \dots, N$ 、ただし $n \neq n'$) の各構成部と協調しながら後述する各ステップの処理を行うことにより実施形態の秘密結合方法が実現される。
- [001 3] なお、各ステップの処理は、秘密計算により行われる。すなわち、秘密計算装置 1_n は、シェアを復元することなく、言い換えればシェアの中身を知ることなく、各ステップの処理を行う。
- [001 4] 秘密計算装置 1_n は、例えば、中央演算処理装置 (CPU: Central Processing Unit)、主記憶装置 (RAM: Random Access Memory) などを有する公知又は専用のコンピュータに特別なプログラムが読み込まれて構成された特別な装置である。秘密計算装置 1_n は、例えば、中央演算処理装置の制御のもとで各処理を実行する。秘密計算装置 1_n に入力されたデータや各処理で得られたデ

一タは、例えば、主記憶装置に格納され、主記憶装置に格納されたデータは必要に応じて中央演算処理装置へ読み出されて他の処理に利用される。秘密計算装置1の各構成部は、少なくとも一部が集積回路等のハードウェアによって構成されていてもよい。

[001 5] 以下の説明において、《を任意のベクトルとして[《]は《が秘密分散されたシェアであり、/3を任意の置換として{《}は/3が秘密分散されたシェアであるとする。

[001 6] 図3を参照して、実施形態の秘密結合システムが実行する秘密結合方法の処理手続きを説明する。

[001 7] 以下に説明する秘密結合システムは、第一テーブルと第二テーブルを秘密垂直結合する。言い換えれば、以下に説明する秘密結合システムは、秘匿性を保ちつつ、第一テーブル及び第二テーブルの共通するキーについての、第一テーブルの属性値及び第二テーブルの属性値を得る。

[001 8] m_0, m_1, L_0, \dots は、1以上の整数であるとする。 m_0, m_1, L_0, \dots は、同じ値であってもよいし、異なる値であってもよい。

[001 9] 第一テーブルは、 m_0 個のレコードを有している。 m_0 個のレコードのそれぞれは、1個のキーと、 L_0 個の属性の属性値とを有している。 $\forall i \in [0, m_0 - 1]$ として、 $\forall j \in [0, L_0 - 1]$ は第一テーブルのキーのベクトルであるとする。 $\beta = 0, \dots, L_0 - 1$ として、 β は第一テーブルの属性 j の属性値のベクトルであるとする。第一テーブルの中は、重複するキーはないとする。

[0020] $[F]^{m_0}$ の上付き文字の中の $_{1110}$ は、「 $_{1110}$ 」を意味する。このように、上付き文字の中では、更なる上付き文字及び下付き文字の表現を省略することがある。同様に、下付き文字の中では、更なる上付き文字及び下付き文字の表現を省略することがある。

[0021] 第二テーブルは、 m_1 個のレコードを有している。 m_1 個のレコードのそれぞれは、1個のキーと、 L_1 個の属性の属性値とを有している。 $\forall i \in [0, m_1 - 1]$ として、 $\forall j \in [0, L_1 - 1]$ は第二テーブルのキーのベクトルであるとする。 $q = 0, \dots, L_1 - 1$ として $v_{i,q} \in F^{m_1}$ は上記第二テーブルの属性 j の属性値のベクトルであるとする。第二テーブルの中では、重複

するキーはないとする。

[0022] 例えば、第一テーブルは、レコード数が3であり、キーのベクトル $1^=(1, 2, 3)$ でと、1個の属性 $z1$ の属性値のベクトル $\gamma_{0,1}=(5, 10, 1)$ でから構成されているとする。

[0023] また、第二テーブルは、レコード数が4であり、キーのベクトル $1^=(1, 3, 4, 5)$ でと、1個の属性 $z1'$ の属性値のベクトル $\gamma_{1,1}=(2, 4, 9, 8)$ でから構成されているとする。

[0024] <ステップ3 1>

ベクトル結合部 1 1, ..., 1 しに、ベクトル k_0 のシェア β_4 及びベクトル k_1 のシェア β_1 が入力される。

[0025] ベクトル結合部 1 1, ..., 1 しは、 β_4 と k_1 を結合して $[k'] \in [F]^{m0+m1}$ を得る。

[0026] より詳細には、ベクトル結合部 1 1, ..., 1 しは、ベクトル k_0 のシェア β_4 及びベクトル k_1 のシェア β_1 を用いて、ベクトル k_0 及びベクトル k_1 を結合したベクトル $k' \in [F]^{m0+m1}$ のシェア β']を生成する(ステップ3 1)。

[0027] 生成されたシェア β']は、第一置換計算部 1 2, -, 1 2_N 及び第一置換適用部 1 3, ..., 1 3_N に出力される。

[0028] 例えば、ベクトル $1^3=(1, 2, 3)$ であり、ベクトル $1^=(1, 3, 4, 5)$ であるとする。この場合、ベクトル $\beta=(1, 2, 3, 1, 3, 4, 5)$ でなる。

[0029] <ステップ3 2>

第一置換計算部 1 2, -, 1 2 に、シェア β']が入力される。

[0030] 第一置換計算部 1 2, -, 1 2 は、 β']のソート $\{\{\beta\}\}$ を得る。

[0031] より詳細には、第一置換計算部 1 2₁, ..., 1 2_N は、シェア β']を用いて、ベクトル β を昇順に安定ソートする置換 η のシェア $\{\{\eta\}\}$ を生成する(ステップ3 2)。

[0032] 安定ソートとは、同等なデータのソート前の順序が、ソート後も保存されるものをいう。安定ソートを行う置換 η のシェア $\{\{\eta\}\}$ の生成は、例えば参考文献1の手法により実現することができる。

[0033] 参考文献 1) 五十嵐大、濱田浩気、菊池亮、千田浩司、『超高速秘密計算ソートの設計と実装：秘密計算がスクリプト言語に並ぶ日』、055201 7, 20

17

[0034] 生成されたシェア $\{\{b\}\}$ は、第一置換適用部 $13, -, 13_N$ 及び逆置換適用部 $110, \dots, 110_N$ に出力される。

[0035] 例えば、ベクトル $\pi = (1, 2, 3, 1, 3, 4, 5)$ であるとする。この場合、置換 σ は以下の式 (1) のようになる。例えば、番号が 1 スタートで表記されるとして、置換 π の各列 (π_i) では、置換が適用されるベクトルの i 番目の要素を π 番目に移動することを意味する。

[0036] [数 1]

$$\sigma = \begin{pmatrix} 1 & 2 & 3 & 4 & 5 & 6 & 7 \\ 1 & 3 & 4 & 2 & 5 & 6 & 7 \end{pmatrix} \quad (1)$$

[0037] なお、ベクトル π の各要素は、ビット分解されたものであってもよい。すなわち、ベクトル π の各要素は、その各要素が 0, 1 のビットで表現されたものであってもよい。

[0038] <ステップ 3 3>

第一置換適用部 $13, -, 13_N$ に、シェア π' 及びシェア $\{\{b\}\}$ が入力される。

[0039] 第一置換適用部 $13, -, 13_N$ は、 π' に $\{\{b\}\}$ を適用して π (π) を得る。

[0040] より詳細には、第一置換適用部 $13, -, 13_N$ は、シェア π' 及びシェア $\{\{b\}\}$ を用いて、ベクトル π' に置換 π を適用したベクトル (π) のシェア $\{\{b\}\}$ を生成する (ステップ 3 3)。

[0041] 生成されたシェア $\{\{b\}\}$ は、第一ベクトル生成部 $14, \dots, 14_N$ に出力される。

[0042] 例えば、ベクトル $\pi = (1, 2, 3, 1, 3, 4, 5)$ であり、置換 σ が上記の式 (1) で表される置換であるとする。この場合、ベクトル $\sigma(\pi) = (1, 1, 2, 3, 3, 4, 5)$ となる。

[0043] <ステップ 3 4>

第一ベクトル生成部 $1_4, \dots, 1_4$ に、シェア [$\mathbb{E}_7(10)$] が入力される。

[0044] 第一ベクトル生成部 $1_4, \dots, 1_4$ は、 $|> := [\mathbb{E}_7 \text{ ひ } , \text{ 戸 } \text{ び } \text{ ひ } , \dots, 0]$ ただし $[e_{m0+}] := [0]$ なる $|>$ を得る。 $|>$ を 0 以上の整数として、 6 はベクトル 6 の番目の要素を意味し、 $\mathbb{E}_7 \text{ ひ }$ はベクトル ひ の 1 番目の要素を意味する。このように、 $|>$ を 0 以上の整数として、ベクトルの下付きの $|>$ は、そのベクトルの番目の要素を意味する。 $|> :=$ は、 $|> :=$ の左の変数に $|> :=$ の右の値を代入することを意味する。例えば、 $a := b$ は、変数 3 に 1) の値を代入することを意味する。

[0045] なお、ベクトルの要素数を m とすると、ベクトルの最初の要素を \circ 番目の要素と呼び、ベクトルの次の要素を 1 番目の要素と呼び、ベクトルの最後の要素を $11/1-1$ 番目の要素と呼ぶことにする。

[0046] より詳細には、第一ベクトル生成部 $1_4, \dots, 1_4$ は、シェア [$\text{び } \text{ ひ }$] を用いて、ベクトル $\text{び } \text{ ひ }$ のある要素とそのある要素の次の要素とが、同じ場合には 1 を、違う場合には \circ をそのある要素に対応する要素として持つベクトル 6 のシェア $|>$ を生成する (ステップ 3 4)。ただし、ベクトル 6 の最後の要素は 0 であるとする。

[0047] 生成されたシェア $|>$ は、第二ベクトル生成部 $1_5, \dots, 1_5$ に \mathbb{N} に出力される。

\circ

[0048] 例えば、ベクトル $\mathbb{E}_7 \text{ ひ }$ $= (1, 1, 2, 3, 3, 4, 5)$ であるとする。この場合、ベクトル $6 = (1, 0, 0, 1, 0, 0, 0)$ となる。

[0049] <ステップ 3 5 >

第二ベクトル生成部 $1_5, \dots, 1_5$ に、シェア $|>$ が入力される。

[0050] 第二ベクトル生成部 $1_5, \dots, 1_5$ は、 $[e'_i] = [e_i (+) e_{i-1}]$ ただし $[e'_0] = [e_0]$ なる $|>$ を得る。 $(+)$ は、排他的論理和又は加算である。

[0051] より詳細には、第二ベクトル生成部 $1_5, \dots, 1_5$ は、シェア $|>$ を用いて、ベクトル \circ のある要素とそのある要素の前の要素の一方が 1 の場合には 1 を、そうでない場合には \circ をそのある要素に対応する要素として持つベクトル 6 のシェア $|>$ を生成する (ステップ 3 5)。ただし、ベクトル 6 の最初の要素は、ベクトル \circ の最初の要素と同じであるとする。

[0052] 生成されたシェア [\triangleright'] は、ビット反転部 $16_1, \dots, 16_N$ に出力される。

[0053] 例えば、ベクトル $6=(1, 0, 0, 1, 0, 0, 0)$ であるとする。この場合、ベクトル $6'=(1, 1, 0, 1, 1, 0, 0)$ となる。

[0054] <ステップ 3 6>

ビット反転部 $16_1, \dots, 16_N$ に、シェア [\triangleright'] が入力される。

[0055] ビット反転部 $16_1, \dots, 16_N$ は、 [\triangleright'] のビット反転 [e''] を得る。

[0056] より詳細には、ビット反転部 $16_1, \dots, 16_N$ は、シェア [\triangleright'] を用いて、ベクトル $6'$ の各要素をビット反転させたベクトル e'' のシェア [e''] を生成する (ステップ 3 6)。

[0057] 生成されたシェア [\triangleright''] は、第二置換計算部 $17_1, \dots, 17_N$ 及び第二置換適用部 $18_1, \dots, 18_N$ に出力される。

[0058] 例えば、 $6'=(1, 1, 0, 1, 1, 0, 0)$ であるとする。この場合、ベクトル $6''=(0, 0, 1, 0, 0, 1, 1)^T$ となる。

[0059] なお、ベクトル $6'$ の各要素がビット分解されたものであった場合には、例えば 1110 の変換により、 $6''$ の環が変更されてもよい。 Δ は、3 以上の素数である。 111 の変換は、例えば参考文献 1 の 3(61116-5 に記載された手法により実現することができる。

[0060] <ステップ 3 7>

第二置換計算部 $17_1, \dots, 17_N$ に、シェア [e''] が入力される。

[0061] 第二置換計算部 $17_1, \dots, 17_N$ は、 [e''] のソート $\{\{g\}\}$ を得る。

[0062] より詳細には、第二置換計算部 $17_1, \dots, 17_N$ は、シェア [e''] を用いて、ベクトル ϕ'' を昇順に安定ソートする置換ゲのシェア $\{\{g\}\}$ を生成する (ステップ 3 7)。

[0063] 生成されたシェア $\{\{g\}\}$ は、第二置換適用部 $18_1, \dots, 18_N$ 及び逆置換適用部 $110_1, \dots, 110_N$ に出力される。

[0064] 例えば、ベクトル $6''=(0, 0, 1, 0, 0, 1, 1)$ であるとする。この場合、置換ゲは以下の式 (2) のようになる。

[0065]

[数2]

$$\sigma' = \begin{smallmatrix} 1 & 2 & 3 & 4 & 5 & 6 & 7 \\ \downarrow & & & & & & \\ 2 & 5 & 3 & 4 & 6 & 7 & 1 \end{smallmatrix} \quad (2)$$

[0066] <ステップ3 8>

第二置換適用部 18,,-,18,,に、シェア[e'']及びシェア{{ゲ}}が入力される。

[0067] 第二置換適用部 18,,-,18,,は、[e'']に{{σ'}}を適用して[σ'(e'')]を得る。

[0068] より詳細には、第二置換適用部 18,,-,18,,は、シェア[e'']及びシェア{{ゲ'}}を用いて、ベクトルe'に置換σ'を適用したベクトルe'(6')のシェア[ゲレ'']を生成する(ステップ3 8)。

[0069] 生成されたシェア[ゲレ'']は、第三ベクトル生成部 19,,-,19,,に出力される。

[0070] 例えば、ベクトル $6' = (0, 0, 1, 0, 0, 1, 1)$ であります。置換ゲが上記の式(2)により表される置換であるとする。この場合、ベクトルゲレ'=(0, 0, 0, 0, 1, 1, 1)^Tとなる。

[0071] <ステップ3 9>

第三ベクトル生成部 19₁, ..., 19_Nに、シェア[ゲレ'']が入力される。

[0072] 第三ベクトル生成部 19,,-,1もは、|>=[ゲ(∅,,)_i?0:4/2] + 1]を得る。

[0073] より詳細には、第三ベクトル生成部 19₁, ..., 19_Nは、シェア[ゲレ'']を用いて、ベクトルゲレ'のある要素|が、0である場合には_l|/2」を、0でない場合には0をそのある要素|に対応する要素として持つベクトルXのシェアト]を生成する(ステップ3 9)。

[0074] ここで、i=0, ..., m₀+m₁-1であり、_l|/2」は、_l|/2以下の最大の整数を意味する。

[0075] 生成されたシェアト]は、逆置換適用部 110₁, ..., 110_Nに出力される。

[0076] 例えば、ベクトルゲ(6')=(0, 0, 0, 0, 1, 1, 1)であるとする。この場合、ベクトル $\mathbf{g}=(1, 1, 2, 2, 0, 0, 0)$ 丁となる。

[0077] <ステップ3 1 0>

逆置換適用部 $1_1 0_1, \dots, 1_1 0_N$ に、シェア $[x]$ 、シェア $\{\{bi\}\}$ 及びシェア $\{\{gi\}\}$ が入力される。

[0078] 逆置換適用部 $1_1 0_1, \dots, 1_1 0_N$ は、 $[x]$ に $\{\{gi\}\}$ と $\{\{bi\}\}$ を逆適用して $[\sigma^{-1}(\sigma'^{-1}(x))]$ を得る。

[0079] より詳細には、逆置換適用部 $1_1 0_1, \dots, 1_1 0_N$ は、シェア $\{\{bi\}\}$ 及びシェア $\{\{gi\}\}$ を用いて、ベクトル x に置換 α' の逆置換 α'^{-1} 及び置換 \circ の逆置換 α^{-1} を適用したベクトル $\alpha'^{-1}(\alpha^{-1}(x))$ のシェア $[\alpha^{-1}(\alpha'^{-1}(x))]$ を生成する（ステップ3 1 0）。

[0080] 生成されたシェア $[\sigma^{-1}(\alpha'^{-1}(x))]$ は、ベクトル分離部 $1_1 1, \dots, 1_1$ しに出力される。

[0081] 例えば、ベクトル $\alpha = (1, 1, 2, 2, 0, 0, 0)$ であり、置換 β が上記の式 (1) により表される置換であり、置換 γ が上記の式 (2) により表される置換であるとする。この場合、ベクトル $\sigma^{-1}(\alpha'^{-1}(x)) = (1, 0, 2, 1, 2, 0, 0)$ となる。

[0082] <ステップ3 1 1 1>

ベクトル分離部 $1_1 1, \dots, 1_1$ しに、シェア $\{\{bi\}\}$ が入力される。

[0083] ベクトル分離部 $1_1 1, \dots, 1_1$ しは、 $[\alpha'^{-1}(\alpha^{-1}(\alpha))]$ を先頭から叫個の要素 $\{3_0\}$ と残りの m_1 個の要素 $\{3_1\}$ とに分離する。

[0084] より詳細には、ベクトル分離部 $1_1 1, \dots, 1_1$ しは、シェア $[\sigma^{-1}(\sigma'^{-1}(x))]$ を用いて、ベクトル $\alpha'^{-1}(\alpha^{-1}(x))$ の先頭から m_0 個の要素からなるベクトル 3_0 のシェア $\{3_0\}$ と、ベクトル β 、 $\alpha'^{-1}(\alpha^{-1}(x))$ の残りの m_1 個の要素からなるベクトル 3_1 のシェア $\{3_1\}$ を生成する（ステップ3 1 1）。

[0085] 生成されたシェア $\{3_0\}$ 及びシェア $\{3_1\}$ は、第三置換適用部 $1_1 2, \dots, 1_1 2_N$ に出力される。

[0086] 例えば、ベクトル $\sigma^{-1}(\alpha'^{-1}(x)) = (1, 0, 2, 1, 2, 0, 0)$ であるとする。この場合、ベクトル $3_0 = (1, 0, 2)$ 、ベクトル $3_1 = (1, 2, 0, 0)$ となる。

[0087] ベクトル $3_0, 3_1$ は、第一テーブルと第二テーブルで重複するキーの位置を示す。

して い る。例 え ば、第 一 テ ー ブ ル の キ ー の ベ ク ト ル が $1^=(1, 2, 3)$ で あ り、第 二 テ ー ブ ル の キ ー の ベ ク ト ル が $1^=(1, 3, 4, 5)$ で あ る と す る。この 場 合、ベ ク ト ル $3_0=(1, 0, 2)$ 、ベ ク ト ル $3_1=(1, 2, 0, 0)$ で と な る。第 一 テ ー ブ ル と 第 二 テ ー ブ ル で 重 複 す る キ ー は、「 1 」「 3 」で あ る。ベ ク ト ル $3_0=(1, 0, 2)$ 及 び ベ ク ト ル $3_1=(1, 2, 0, 0)$ で は、そ れぞれ ベ ク ト ル $1^=(1, 2, 3)$ 及 び $1^=(1, 3, 4, 5)$ の 中 の「 1 」「 3 」の 位 置 を 示 し て い る。

[0088] <ス テ ッ プ 3 1 2 >

第 三 置 换 適 用 部 $1 1 2, , - , 1 1 2$ に、シ ェ ア $[\%]$ 及 び シ ェ ア $[3,]$ が 入 力 さ れ る。

[0089] 第 三 置 换 適 用 部 $1 1 2, , \dots , 1 1 2_N$ は、 $[\pi_0(3_0)], [\pi_0(3_1)]$ を 得 て、 $\pi_0 := \pi_0(8_0)$ 、 $\pi_1 := \pi_1(8_1)$ を 公 開 す る。

[0090] よ り 詳 細 に は、第 三 置 换 適 用 部 $1 1 2, , - , 1 1 2$ は、シ ェ ア $[\%]$ 、シ ェ ア $[1^=]$ 及 び 置 换 π_0, π_1 を 用 い て、ベ ク ト ル S_0 に 置 换 π_0 を 適 用 し た ベ ク ト ル $\pi_0 := \pi_0(3_0)$ の シ ェ ア $[\pi_0(3_0)]$ と、ベ ク ト ル S_1 に 置 换 π_1 を 適 用 し た ベ ク ト ル $\pi_1 := \pi_1(3_1)$ の シ ェ ア $[\pi_1(3_1)]$ と を 生成 し て、ベ ク ト ル π_0 及 び ベ ク ト ル π_1 を 公 開 す る (ス テ ッ プ 3 1 2)。ベ ク ト ル π_0 及 び ベ ク ト ル π_1 は、秘 密 計 算 装 置 1_n ($1 \leq n \leq 10$) に 公 開 さ れ る。

[0091] 置 换 π_0, π_1 は、所 定 の 置 换 で あ り、例 え ば ラ ン ダ ム 置 换 で あ る。置 换 π_0, π_1 は、予め 定 め ら れ た 置 换 で あ つ も よ い し、ス テ ッ プ 3 1 2 の 处 理 を す る 際 に 生成 さ れ て も よ い。置 换 π_0, π_1 及 び こ れ ら の シ ェ ア $\{\{\pi_0\}\}, \{\{\pi_1\}\}$ は、例 え ば 参 考 文 献 1 の 4.1 節 に 記 載 さ れ た 手 法 に よ り 生成 す る こ と が 可 て る。秘 密 計 算 装 置 1_n ($1 \leq n \leq 10$) は、置 换 π_0, π_1 及 び こ れ ら の シ ェ ア $\{\{\pi_0\}\}, \{\{\pi_1\}\}$ に つ い て の 情 報 を 有 し て お り、置 换 π_0, π_1 及 び こ れ ら の シ ェ ア $\{\{\pi_0\}\}, \{\{\pi_1\}\}$ を 用 い て 計 算 が 可 て る と す る。

[0092] 生成 さ れ た シ ェ ア $[\pi_0]$ 及 び シ ェ ア $[\pi_1]$ は、属 性 値 置 换 部 $1 1 3, , \dots , 1 1 3_N$ に 出 力 さ れ る。

[0093] 例 え ば、ベ ク ト ル $3_0=(1, 0, 2)$ 、ベ ク ト ル $3_1=(1, 2, 0, 0)$ で あ り、心 が 以 下 の 式 (3) に よ り 表 さ れ る 置 换 で あ り、 π_0 が 以 下 の 式 (4) に よ り 表 さ れ る 置

換であるとする。

[0094] [数3]

$$\pi_0 = \begin{pmatrix} 1 & 2 & 3 \\ 3 & 1 & 2 \end{pmatrix} \quad (3)$$

$$\pi_1 = \begin{pmatrix} 1 & 2 & 3 & 4 \\ 2 & 4 & 1 & 3 \end{pmatrix} \quad (4)$$

[0095] この場合、ベクトル $\mathbf{t}_0 = (0, 2, 1)$ とベクトル $\mathbf{t}_1 = (0, 1, 0, 2)$ となる。

[0096] <ステップ3 1 3>

属性値置換部 1 1 3 , , - , 1 1 3 , に、シェア π_0 及びシェア π_1 が入力される。

[0097] 属性値置換部 1 1 3 , , - , 1 1 3 , は、第一テーブルの各属性値を {{ろ}}, 第二テーブルの各属性値 {{冗}} により置換する。

[0098] より詳細には、属性値置換部 1 1 3 , , - , 1 1 3 , は、置換冗 π_0 のシェア {{冗}}, 置換心のシェア {{心}}, ベクトル $\mathbf{v}_{0,p}$ のシェア $\pi_{0,p}$ 及びベクトル $\mathbf{v}_{1,q}$ のシェア $\pi_{1,q}$ を用いて、第一テーブルの各属性 $(. = 0, \dots, 111-1)$ の属性値のベクトル $\mathbf{v}_{0,p}$ を置換 $\pi_{0,p}$ で置換したベクトル $\mathbf{v}'_{0,p}$ のシェア $\pi'_{0,p}$ と、第二テーブルの各属性 $9 (9=0, \dots, 111-1)$ の属性値のベクトル $\mathbf{v}_{1,q}$ を置換 $\pi_{1,q}$ で置換したベクトル $\mathbf{v}'_{1,q}$ のシェア $\pi'_{1,q}$ を生成する (ステップ3 1 3)。

[0099] 生成されたシェア $\pi'_{0,p}$ 及び $\pi'_{1,q}$ は、第四ベクトル生成部 1 1 4 , , - , 1 1 4 , に出力される。

[0100] 例えば、第一テーブルの属性 $z1$ のベクトル $\mathbf{v}_{0,1} = (5, 10, 1)$ であり、第二テーブルの属性 $z1'$ のベクトル $\mathbf{v}_{1,1} = (2, 4, 9, 8)^T$ であり、冗 π_0 が上記の式 (3) により表される置換であり、心が上記の式 (4) により表される置換であるとする。この場合、ベクトル $\mathbf{v}'_{0,1} = (1, 0, 1, 5)$ でベクトル $\mathbf{v}'_{1,1} = (9, 2, 8, 4)$ となる。

[0101] <ステップ3 1 4>

第四ベクトル生成部 1 1 4 , , - , 1 1 , は、1=1, 2として、置換した各属性値 $[\mathbf{v}'_{0,p}]$ について (て上 $\neq 0$ のとき) $[(\mathbf{v}'_{0,p})_{i-1}] := [(\mathbf{v}'_{0,p})_i]$ とする $[(\mathbf{v}'_{0,p})_i]$ 及び $[\mathbf{v}'_{1,q}]$ が入力される。

[0102] 第四ベクトル生成部 1 1 4 , , - , 1 1 , は、1=1, 2として、置換した各属性値 $[\mathbf{v}'_{0,p}]$ について (て上 $\neq 0$ のとき) $[(\mathbf{v}'_{0,p})_{i-1}] := [(\mathbf{v}'_{0,p})_i]$ とする $[(\mathbf{v}'_{0,p})_i]$ 及び $[\mathbf{v}'_{1,q}]$ が入力される。

4)]を得る。

[01 03] より詳細には、第四ベクトル生成部 $114_{\cdot, \cdot, \cdot, \cdot}$ は、ベクトル τ_0 、ベクトル τ_1 、シェア $[v'_{0,p}]$ 及びシェア $[v'_{1,p}]$ を用いて、ベクトル τ_0 の i 番目の要素が \bigcirc でない場合にはベクトル $g_{0,p}$ の i 番目の要素を $i-1$ 番目の要素として持つベクトル $v'_{0,p}$ のシェア $[v']$ 、口と、ベクトル τ_1 の i 番目の要素が 0 でない場合にはベクトル $v'_{1,p}$ の i 番目の要素を $i-1$ 番目の要素として持つベクトル $v'_{1,p}$ のシェア $[g']$ とを生成する（ステップ 3 14）。第四ベクトル生成部 $114_{\cdot, \cdot, \cdot, \cdot}$ は、この処理を各 $\square (p=0, \dots, 10-1)$ 及び各 $\square (p=0, \dots, 1-1)$ に対して行う。

[01 04] 例えば、ベクトル $\tau_0 = (0, 2, 1)$ とベクトル $g_{0,p} = (10, 1, 5)$ とベクトル $v'_{0,p} = (0, 1, 0, 2)$ のベクトル τ_0 の i 番目の要素を $i-1$ 番目の要素として持つベクトル $v'_{0,p}$ のシェア $[v']$ とを生成する。この場合、ベクトル $g'_{0,p} = (5, 1)$ のベクトル $v'_{1,p} = (2, 4)^T$ となる。

[01 05] ベクトル τ_0, τ_1 は第一テーブルと第二テーブルで重複するキーの位置を示しているため、ベクトル τ_0, τ_1 をそれぞれ置換 τ_0, τ_1 により置換したベクトル τ_0 、置換 τ_1 による置換後的第一テーブルと第二テーブルで重複するキーの位置を示している。

[01 06] 上記の例では、ベクトル $\tau_0 = (0, 2, 1)$ の 2 番目の要素 τ_1 は置換 τ_0 による置換後的第一テーブルのキー τ_1 の位置を示し、ベクトル $\tau_0 = (0, 2, 1)$ の 1 番目の要素 τ_2 は置換 τ_0 による置換後的第一テーブルのキー τ_3 の位置を示している。

[01 07] 同様に、上記の例では、ベクトル $\tau_0 = (0, 1, 0, 2)$ の 1 番目の要素 τ_1 は置換 τ_0 による置換後第二テーブルのキー τ_1 の位置を示し、ベクトル $\tau_0 = (0, 1, 0, 2)$ の 3 番目の要素 τ_2 は置換 τ_0 による置換後第二テーブルのキー τ_3 の位置を示している。

[01 08] このため、 $(\tau_i)_j \neq \bigcirc$ のときに $[(v')_{i,j}]_{(7i)_{i-1}} := [(g')_i]_j$ とすることにより、第一テーブルのキー τ_1 のレコードの属性 $z1$ の属性値 τ_5 をベクトル v' 、 $\tau_1 = (5, 1)$ の \bigcirc 番目の要素とし、第一テーブルのキー τ_3 のレコードの属性 $z1$ の属性値 τ_1 をベクトル $v'_{0,p} = (5, 1)$ の 1 番目の要素とすることができます。

- [01 09] また、第二テーブルのキー r_1 のレコードの属性 $z1'$ の属性値 r_2 をベクトル $v'_{0, \dots, 1} = (2, 4)70$ ○番目の要素とし、第二テーブルのキー r_3 のレコードの属性 $z1'$ の属性値 r_4 をベクトル $v'_{0, \dots, 1} = (2, 4)$ の 1 番目の要素とすることができる。
- [01 10] 言い換えれば、ベクトル $v'_{0, \dots, 1} = (5, 1)$ の ○番目の要素 r_5 は第一テーブルのキー r_1 のレコードの属性 $z1$ の属性値であり、ベクトル $v'_{0, \dots, 1} = (5, 1)$ の 1 番目の要素 r_1 は、第一テーブルのキー r_3 のレコードの属性 $z1$ の属性値である。
- [01 11] また、ベクトル $v'_{0, \dots, 1} = (2, 4)^T0$ ○番目の要素 r_2 は第二テーブルのキー r_1 のレコードの属性 $z1'$ の属性値であり、ベクトル $v'_{0, \dots, 1} = (2, 4)^T$ の 1 番目の要素 r_4 は第二テーブルのキー r_3 のレコードの属性 $z1'$ の属性値である。
- [01 12] このように、ベクトル $v'_{0, \dots, 1} = (5, 1)$ と ベクトル $v'_{0, \dots, 1} = (2, 4)^T$ は、第一テーブル及び第二テーブルの共通するキー r_1 r_3 についての、第一テーブルの属性値及び第二テーブルの属性値を表していると言える。
- [01 13] この実施形態によれば、秘匿性を保ったまま、第一テーブル及び第二テーブルの共通するキーについての、第一テーブルの属性値及び第二テーブルの属性値を得ることができる。
- [01 14] [変形例]
- なお、Xを2以上の正の整数として、キーの属性が、X個の属性の複合キーであってもよい。この場合には、例えば以下のようにしてステップ3 1の処理を行ってもよい。
- [01 15] 第一テーブルのキーは、 $r_{0,0}, \dots, r_{0,x-1}$ であるとする。第二テーブルのキーは $r_{0,0}, \dots, r_{0,x-1}$ であるとする。
- [01 16] この場合、ステップ3 1の処理で、各 r_i (ただし $i=0, \dots, x-1$) で $r_{0,i}$ と、 r_i を結合して r'_i を得る。そして、各 r'_i をビット分解してビット表現にし、横に結合する。例えば $\pi_0 = (1, 2, 3, 1, 3, 0, 1) \setminus 1^8 = (0, 0, 0, 0, 0, 1, 1)$ のとき、 π_0 をビット分解すると、 $(\pi_0)_0 = (1, 0, 1, 1, 1, 0, 1) \setminus 1^7 = (0, 1, 1, 0, 1, 0, 0)$ となる。
- [01 17] ここで、 π_0 は 1 から 3 の値を取るため、 π_0 の各要素は 2 ビットで表現するこ

とができる。 h'_0 は p'_0 をビット分解したときの下位ビットであり、 h, p は p'_0 をビット分解したときの上位ビットである。 p はこの例ではもともと1ビット数であるので分解する必要はなく、 $p = (h, p)$ とする。 (p'_0, h, p) を横に結合すると、

[01 18] [数4]

$$\begin{array}{c} 1. 0. 1. 1. 1. 0. \backslash \\ | \\ 0. 1. 1. 0. 1. 0. 0 \\ | \\ , \bigcirc 0. 0. 0. 1. 1 \end{array}^T$$

[01 19] となる。このようにして並べたものを行列とみなし、この行列の各行を1レコードのキーのビット表現とみなすと、 $(1, 2, 3, 1, 3, 4, 5)$ というキーのビット表現のベクトルが得られる。このベクトルをステップ3 2以降で使うピとして用いてもよい。このようにして、複合キーの場合も処理できる。

[01 20] 複合キーでは、キーの重複とは、全てのキー属性の値の組み合わせの観点で重複するかどうかであり、個々の属性の値が重複しただけでは重複とはみなさないとする。例えば、組み合わせ $(1, 0)$ と $(1, 1)$ は重複ではない。

[01 21] 以上、この発明の実施の形態について説明したが、具体的な構成は、これらの実施の形態に限られるものではなく、この発明の趣旨を逸脱しない範囲で適宜設計の変更等があっても、この発明に含まれることはいうまでもない。

[01 22] 実施の形態において説明した各種の処理は、記載の順に従って時系列に実行されるのみならず、処理を実行する装置の処理能力あるいは必要に応じて並列的にあるいは個別に実行されてもよい。

[01 23] [プログラム、記録媒体]

上述の各種の処理は、図4に示すコンピュータの記録部2020に、上記方法の各ステップを実行させるプログラムを読み込ませ、制御部2010、入力部2030、出力部2040などに動作させることで実施できる。

[01 24] この処理内容を記述したプログラムは、コンピュータで読み取り可能な記録媒体に記録しておくことができる。コンピュータで読み取り可能な記録媒

体としては、例えば、磁気記録装置、光ディスク、光磁気記録媒体、半導体メモリ等どのようなものでもよい。

[0125] また、このプログラムの流通は、例えば、そのプログラムを記録した〇人CD-ROM等の可搬型記録媒体を販売、譲渡、貸与等することによって行う。さらに、このプログラムをサーバコンピュータの記憶装置に格納しておき、ネットワークを介して、サーバコンピュータから他のコンピュータにそのプログラムを転送することにより、このプログラムを流通させる構成としてもよい。

[0126] このようなプログラムを実行するコンピュータは、例えば、まず、可搬型記録媒体に記録されたプログラムもしくはサーバコンピュータから転送されたプログラムを、一旦、自己の記憶装置に格納する。そして、処理の実行時、このコンピュータは、自己の記憶装置に格納されたプログラムを読み取り、読み取ったプログラムに従った処理を実行する。また、このプログラムの別の実行形態として、コンピュータが可搬型記録媒体から直接プログラムを読み取り、そのプログラムに従った処理を実行することとしてもよく、さらに、このコンピュータにサーバコンピュータからプログラムが転送されるたびに、逐次、受け取ったプログラムに従った処理を実行することとしてもよい。また、サーバコンピュータから、このコンピュータへのプログラムの転送は行わず、その実行指示と結果取得のみによって処理機能を実現する、いわゆるASP (Application Service Provider) 型のサービスによって、上述の処理を実行する構成としてもよい。なお、本形態におけるプログラムには、電子計算機による処理の用に供する情報であってプログラムに準ずるもの（コンピュータに対する直接の指令ではないがコンピュータの処理を規定する性質を有するデータ等）を含むものとする。

[0127] また、この形態では、コンピュータ上で所定のプログラムを実行させることにより、本装置を構成することとしたが、これらの処理内容の少なくとも一部をハードウエア的に実現することとしてもよい。

請求の範囲

[請求項 1]

複数の秘密計算装置を含む秘密結合システムであつて、

ドは任章の環であり、《を任章のベクトルとして[《]は《が秘密分散

散されたシェアであり、/3を任章の置換として{{/3}}は/3が秘密分散

されたシェアであり、 m_0, m_1, L_0, L_1 は1以上の整数であり、 $k_0 \in F^{m_0}$ は第一テーブルのキーのベクトルであり、 \odot ト \vdash は第二テーブルのキーのベクトルであり、 $\square = 0, \dots, L_0 - 1$ として ψ_0 左ド \square は上記第一テーブルの属性印の属性値のベクトルであり、 $q = 0, \dots, L_1 - 1$ として $v_{1,q} \in F^{m_1}$ は上記第二テーブルの属性印の属性値のベクトルであり、元 \square, τ_1 はそれぞれ長き叫 $, 111$ の所定の置換であり、

上記複数の秘密計算装置は、

上記ベクトル k_0 のシェア $[\square_0]$ 及び上記ベクトル k_1 のシェア $[\square_1]$ を用いて、上記ベクトル k_0 及び上記ベクトル k_1 を結合したベクトルビ \square $[F]$ m_0+m_1 のシェア $[\square']$ を生成する複数のベクトル結合部と、上記シェア $[\square']$ を用いて、上記ベクトル k' を昇順に安定ソートする置換 \square のシェア $\{(\square)\}$ を生成する複数の第一置換計算部と、上記シェア $[\square']$ 及び上記シェア $\{(\square)\}$ を用いて、上記ベクトル k' に上記置換 \square を適用したベクトル (\square) のシェア $[(\square)]$ を生成する複

数の第一置換適用部と、

上記シェア $[(\square)]$ を用いて、上記ベクトル (\square) のある要素とそのある要素の次の要素とが、同じ場合には1を、違う場合には0をそのある要素に対応する要素として持つベクトルのシェア $[\square]$ を生成する複数の第一ベクトル生成部と、上記シェア $[\square]$ を用いて、上記ベクトル \square のある要素とそのある要素の前の要素の一方が1の場合には1を、そうでない場合には0をそのある要素に対応する要素として持つベクトル e' のシェア $[e']$ を生成する複数の第二ベクトル生成部と、上記シェア $[\square]$ を用いて、上記ベクトル \square の各要素をピット反転さ

せたベクトル e'' のシェア $[e'']$ を生成する複数のビット反転部と、
上記シェア $[e'']$ を用いて、上記ベクトル e'' を昇順に安定ソートする置換ゲのシェア $\{\{g\}\}$ を生成する複数の第二置換計算部と、
上記シェア $[e'']$ 及び上記シェア $\{\{e'\}\}$ を用いて、上記ベクトル e' に上記置換 φ' を適用したベクトル $e'(6'')$ のシェア $[e'(6'')]$ を生成する複数の第二置換適用部と、

上記シェア $[e'(6'')]$ を用いて、上記ベクトル $e'(6'')$ のある要素 1 が、 \bigcirc である場合には $1/2$ を、 0 でない場合には 0 をそのある要素 1 に対応する要素として持つベクトル x のシェア $[x]$ を生成する複数の第三ベクトル生成部と、

上記シェア $[x]$ 、上記シェア $\{\{b\}\}$ 及び上記シェア $\{\{e'\}\}$ を用いて、上記ベクトル x に上記置換 φ' の逆置換 φ'^{-1} 及び上記置換 φ の逆置換 φ^{-1} を適用したベクトル $(7-](e'^{-1}(\varphi))$ のシェア $[(7-](\varphi'^{-1}(\varphi))]$ を生成する複数の逆置換適用部と、

上記シェア $[(\varphi'^{-1}(\varphi'^{-1}(\varphi)))]$ を用いて、上記ベクトル $<7-](e'^{-1}(\varphi))$ の先頭から m_0 個の要素からなるベクトル s_0 のシェア $[s_0]$ と、上記ベクトル $e'^{-1}(\varphi'^{-1}(\varphi))$ の残りの m_1 個の要素からなるベクトル s_1 のシェア $[s_1]$ とを生成する複数のベクトル分離部と、

上記シェア $[s_0]$ 、上記シェア $[s_1]$ 及び上記置換 τ_0, τ_1 を用いて、上記ベクトル s_0 に上記置換 τ_0 を適用したベクトル $\tau_0 := \tau_0(s_0)$ のシェア $[\tau_0]$ と、上記ベクトル s_1 に上記置換 τ_1 を適用したベクトル $\tau_1 := \tau_1(s_1)$ のシェア $[\tau_1]$ とを生成して、 $\tau_0 := \tau_0(s_0)$ 及び $\tau_1 := \tau_1(s_1)$ を公開する複数の第三置換適用部と、

上記置換 τ_0 のシェア $\{\{\tau_0\}\}$ 、上記置換 τ_1 のシェア $\{\{\tau_1\}\}$ 、上記ベクトル $v_{\theta, p}$ のシェア $[v_{\theta, p}]$ 及び上記ベクトル $v_{\theta, q}$ のシェア $[v_{\theta, q}]$ を用いて、上記第一テーブルの各属性 i の属性値のベクトル $v_{\theta, p}$ を上記置換 τ_0 で置換したベクトル $v_{\theta, p}$ のシェア $[v'_{\theta, p}]$ と、上記第二テーブルの各属性 9 の属性値のベクトル $v_{\theta, q}$ を上記置換 τ_1 で置換したベクトル $v'_{\theta, q}$ のシ

エア $v_{1,q}$]とを生成する複数の属性値置換部と、
 上記ベクトルで、上記ベクトル $\sum_{0,p}$ 、上記シェア $v_{0,p}$ 及び上記シ
 エア $v_{1,q}$ を用いて、上記ベクトルの i 番目の要素が0でない場
 合には上記ベクトル $v_{0,p}$ の i 番目の要素を $1 - i$ 番目の要素として持つ
 ベクトル $v_{0,p}$ のシェア $[v_{0,p}]$ と、上記ベクトルの i 番目の要素が
 0でない場合には上記ベクトル $v_{1,q}$ の i 番目の要素を $1 - i$ 番目の要素
 として持つベクトル $v_{1,q}$ のシェア $[v_{1,q}]$ とを生成する複数の第四ベ
 クトル生成部と、

を含む秘密結合システム。

[請求項2] 請求項1の秘密結合システムの秘密計算装置。

[請求項3] トは任意の環であり、 $\langle \cdot \rangle$ を任意のベクトルとして $\langle \cdot \rangle$ は $\langle \cdot \rangle$ が秘密分散されたシェアであり、 $/3$ を任意の置換として $\langle \langle /3 \rangle \rangle$ は $/3$ が秘密分散されたシェアであり、 m_0, m_1, L_0, L_1 は1以上の整数であり、 $k_0 \in F^{m_0}$ は第一テーブルのキーのベクトルであり、 $\alpha = 0, \dots, L_0 - 1$ として α 左ドロは上記第一テーブルの属性 α の属性値のベクトルであり、 $q = 0, \dots, L_1 - 1$ として $v_{1,q} \in F^{m_1}$ は上記第二テーブルのキーのベクトルであり、 β を $m_0 + m_1$ のシェア $\langle \cdot \rangle$ を生成する複数のベクトル結合ステップと、

複数のベクトル結合部が、上記ベクトル k_0 のシェア $\langle \cdot \rangle$ 及び上記ベクトル k_1 のシェア $\langle \cdot \rangle$ を用いて、上記ベクトル k_0 及び上記ベクトル k_1 を結合したベクトル $\in [F]^{m_0+m_1}$ のシェア $\langle \cdot \rangle$ を生成する複数のベクトル結合ステップと、
 複数の第一置換計算部が、上記シェア $\langle \cdot \rangle$ を用いて、上記ベクトル β を昇順に安定ソートする置換 $\langle \cdot \rangle$ のシェア $\langle \langle \cdot \rangle \rangle$ を生成する複数の第一置換計算ステップと、
 複数の第一置換適用部が、上記シェア $\langle \cdot \rangle$ 及び上記シェア $\langle \langle \cdot \rangle \rangle$ を用いて、上記ベクトル k に上記置換 β を適用したベクトル $\langle \cdot \rangle$ のシ
 エア $\langle \langle \cdot \rangle \rangle$ を生成する複数の第一置換適用ステップと、

複数の第一ベクトル生成部が、上記シェア[びひ']を用いて、上記ベクトル π ひ')のある要素とそのある要素の次の要素とが、同じ場合には1を、違う場合には○をそのある要素に対応する要素として持つベクトル6のシェア π]を生成する複数の第一ベクトル生成ステップと、

複数の第二ベクトル生成部が、上記シェア π]を用いて、上記ベクトル6のある要素とそのある要素の前の要素の一方が1の場合には1を、そうでない場合には0をそのある要素に対応する要素として持つベクトル6'のシェア π]を生成する複数の第二ベクトル生成ステップと、

複数のビット反転部が、上記シェア π]を用いて、上記ベクトル6'の各要素をビット反転させたベクトル6''のシェア[e'']を生成する複数のビット反転ステップと、

複数の第二置換計算部が、上記シェア π]を用いて、上記ベクトル6''を昇順に安定ソートする置換 π 'のシェア{{ π '}}を生成する複数の第二置換計算ステップと、

複数の第二置換適用部が、上記シェア π]及び上記シェア{{ π '}}を用いて、上記ベクトル e'' に上記置換 π 'を適用したベクトル π '(6')のシェア[$g\pi''$]を生成する複数の第二置換適用ステップと、

複数の第三ベクトル生成部が、上記シェア[$g\pi''$]を用いて、上記ベクトル $g\pi''$ のある要素が、0である場合にはし $\lfloor/2\rfloor$ を、0でない場合には0をそのある要素に対応する要素として持つベクトル π のシェア π]を生成する複数の第三ベクトル生成ステップと、

複数の逆置換適用部が、上記シェア π]、上記シェア{{ π '}}及び上記シェア{{ π ''}}を用いて、上記ベクトル π に上記置換 π 'の逆置換 π '-1及び上記置換 π ''の逆置換 σ^{-1} を適用したベクトル π び、 π '-1(6')のシェア[$\sigma^{-1}(\pi', -1(6'))$]を生成する複数の逆置換適用ステップと、

複数のベクトル分離部が、上記シェア[π '-1(6'ひ)]を用いて、

上 育 ハ ク ツ ル マ - (7 - - 1 (X)) の 先 頭 か 5 111₀ 個 の 頭 か ら な る ハ ク ツ ル S₀

のシエア $[3_0]$ と、上記ベクトル $\varphi_{-1}(\varphi^{-1}(X))$ の残りの 111 個の要素が

な あ み へ ウ ト ル $S_{1,6}$ シ ェ ア : 3 . 1 と を 生 成 す る 権 数 の へ う ト ル 分 離 ス テ ッ ツ

フ と

複数の第三位置換適用部が、上記シエアマ[。]、上記シエア³及び上記

記置換 71:0, 71:, を用いて、上記べクトル S_0 に上記置換 71:0 を適用したべ

ク ツ ル マ $_{0_0}$: = 71 $_{0_0}$ (3 $_{0_0}$) の シ エ ア [71 $_{0_0}$ (3 $_{0_0}$)] と 、 上 記 へ ク ツ ル **S1** に 上 記 置 换

心を通用したべクトル $\tau_1 = \tau_1, (3)$ のシエア $[\tau_1, (3)]$ とを生成して、

て ${}_0$: = $71:{}_0$ ($3:{}_0$) 及 び て ${}_1$: = $71:{}_1$ ($3:{}_1$) を 公 開 す る 機 数 の 第 三 面 換 通 用 ス テ ッ プ

2

の シ ェ ア { { も } } 、 上 記 ベ ク ト ル ゾ θ , p の シ ェ ア $\rightarrow \theta_1$] 及 び 上 記 ベ ク ト ル v ,

の べ く の 属 性 の 属 性 の 各 属性 の ブルーティー記上にて、いを用いて、アエシシのqを表す。

ク ト ル $V_{0, p}$ を 上 記 置 換 71: で 置 換 し た べ ト ル ソ $0, p$ の シ エ ア ト $, p$ と

上記第二テープルの各属性口の属性値のペクトルを上記置換^{アセ}1で

置換したたべくトルvいのシエア[ゲ1,q]とを生成する複数の属性値置換

ス　テ　ッ　ブ　と　、

上記シエアへ。口及び上記シエア[Vい]を用いて、上記ベクトルで

の 番 号 の 田 種 素 素 ガ 0 で な い 場 合 に は 上 記 へ ク ル ン 。 p の

を、すこし1番目の要素として持つべきトルトルの、pのシエア[V']。p」と、上記

ハクトルの1番目の要素がひでない場合には上記ハクトル_{1,q}の1

番目の要素を上 - 1番目の要素として持つベクトル

[図1]

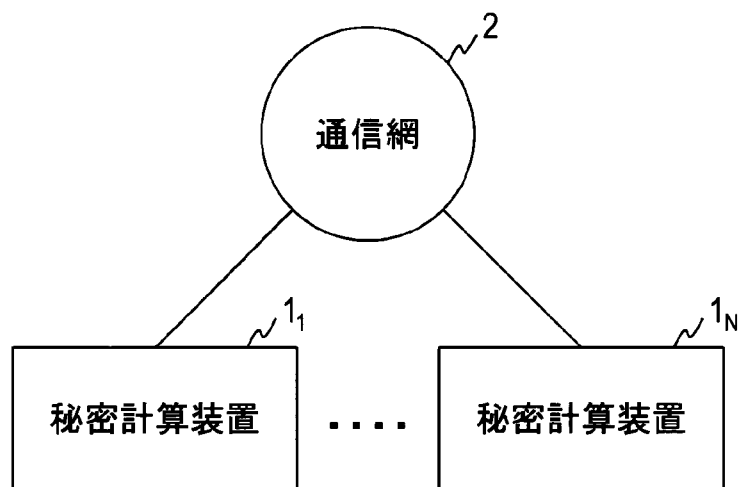
秘密結合システム

図1

[図2]

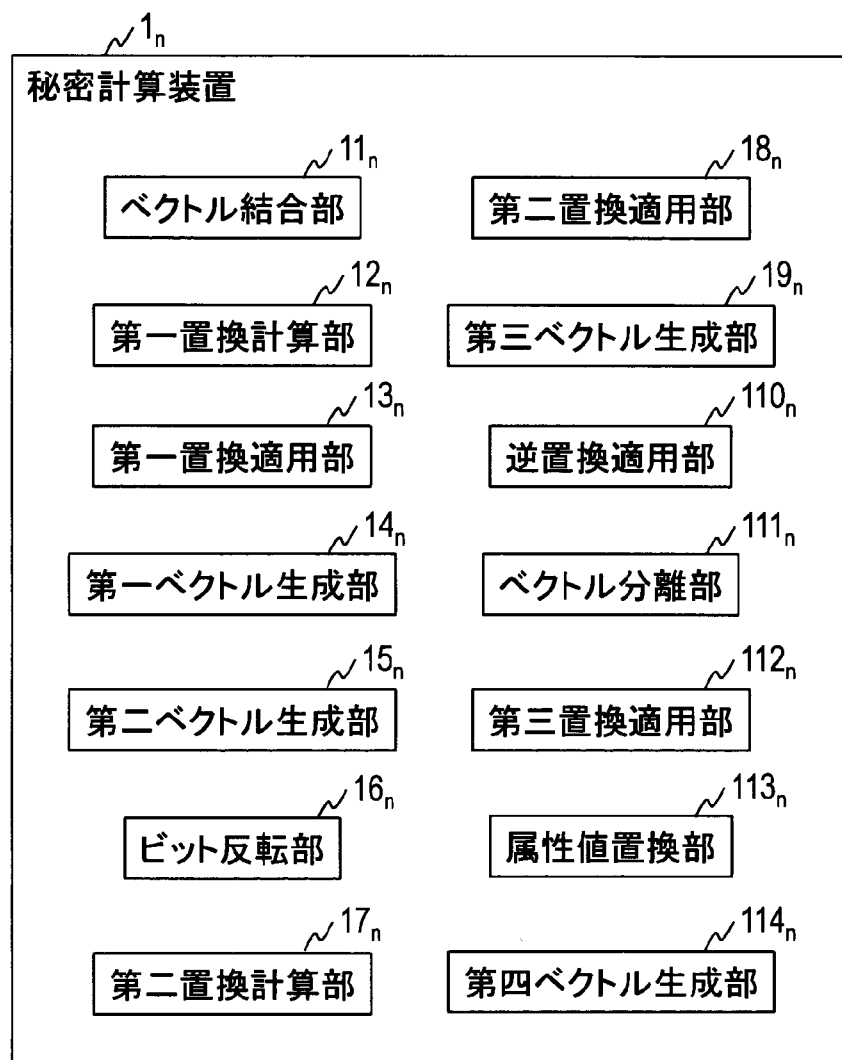


図2

[図3]

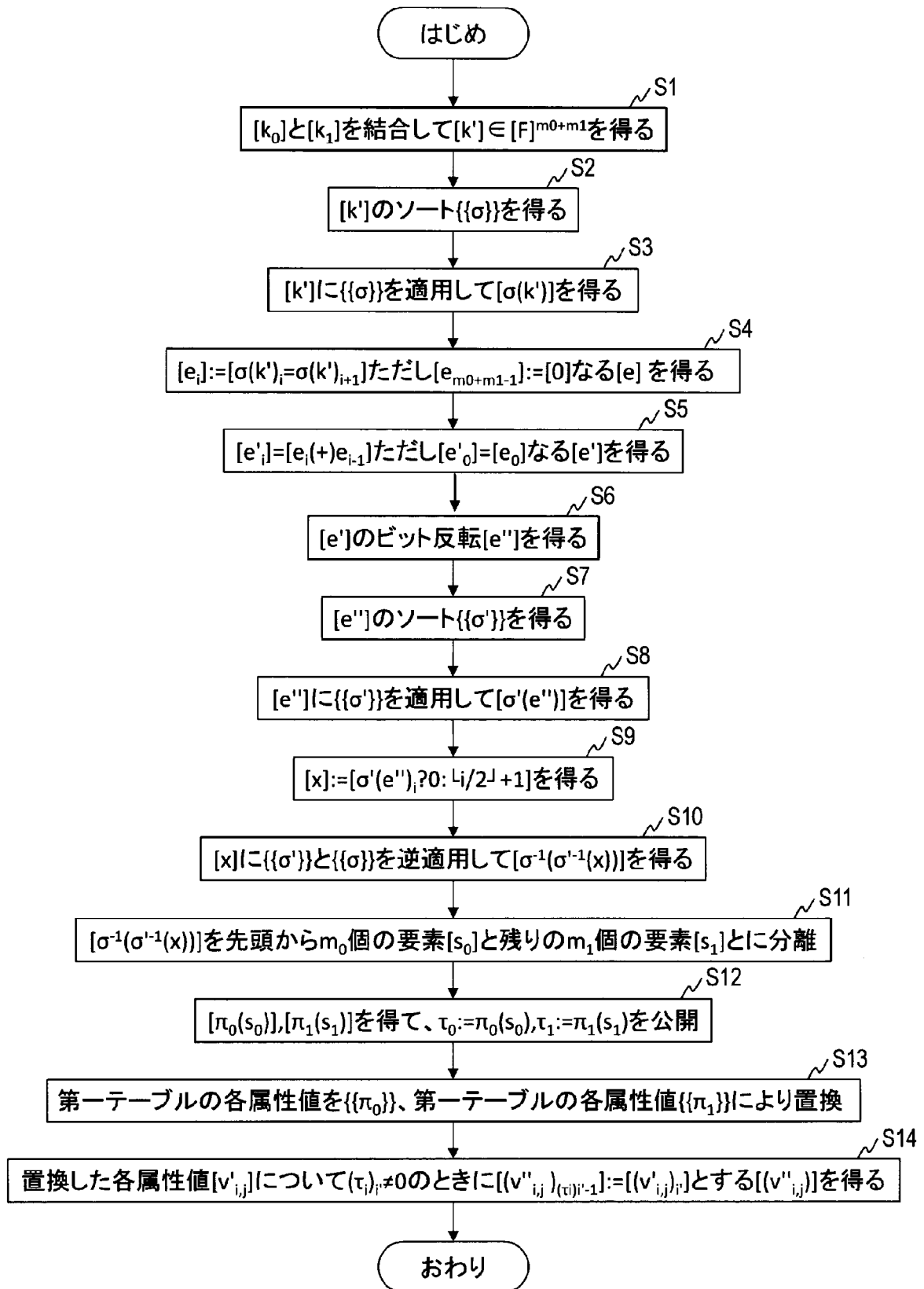


図3

[図4]

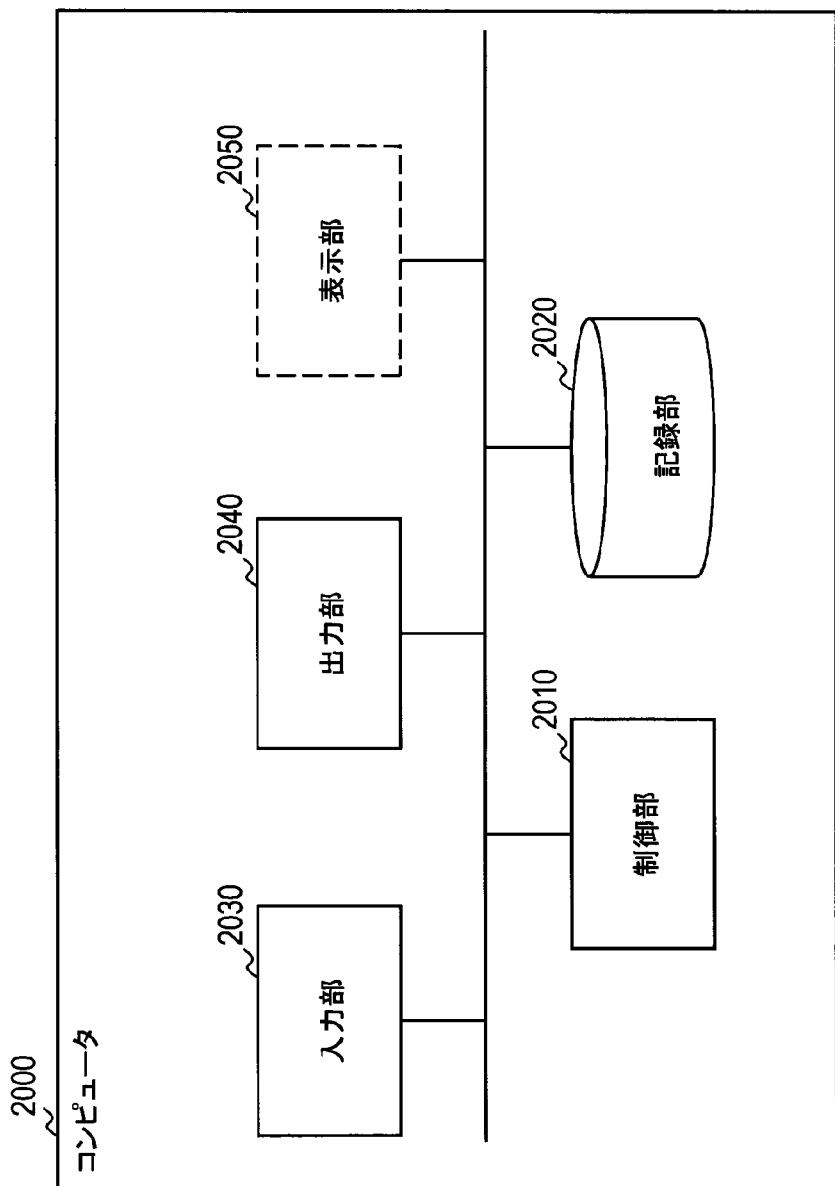


図4

INTERNATIONAL SEARCH REPORT

International application No.

PCT/JP2019/023390

A. CLASSIFICATION OF SUBJECT MATTER
Int.Cl. G09C1/00 (2006.01) i

According to International Patent Classification (IPC) or to both national classification and IPC

B. FIELDS SEARCHED

Minimum documentation searched (classification system followed by classification symbols)

Int.Cl. G09C1/00

Documentation searched other than minimum documentation to the extent that such documents are included in the fields searched

Published examined utility model applications of Japan	1922–1996
Published unexamined utility model applications of Japan	1971–2019
Registered utility model specifications of Japan	1996–2019
Published registered utility model applications of Japan	1994–2019

Electronic data base consulted during the international search (name of data base and, where practicable, search terms used)

C. DOCUMENTS CONSIDERED TO BE RELEVANT

Category*	Citation of document, with indication, where appropriate, of the relevant passages	Relevant to claim No.
A	LAUR, Sven et al., "From Oblivious AES to Efficient and Secure Database Join in the Multiparty Setting", Applied Cryptography and Network Security, SpringerLink [online], 2013 [retrieved on 28 August 2019], Internet: <URL:https://link.springer.com/content/pdf/10.1007%2F978-3-642-38980-1_6.pdf> <DOI: 10.1007/978-3-642-38980-1_6>, pp. 84–101	1–4

Further documents are listed in the continuation of Box C.



See patent family annex.

* Special categories of cited documents: "A" document defining the general state of the art which is not considered to be of particular relevance "E" earlier application or patent but published on or after the international filing date "L" document which may throw doubts on priority claim(s) or which is cited to establish the publication date of another citation or other special reason (as specified) "O" document referring to an oral disclosure, use, exhibition or other means "P" document published prior to the international filing date but later than the priority date claimed	"T" later document published after the international filing date or priority date and not in conflict with the application but cited to understand the principle or theory underlying the invention "X" document of particular relevance; the claimed invention cannot be considered novel or cannot be considered to involve an inventive step when the document is taken alone "Y" document of particular relevance; the claimed invention cannot be considered to involve an inventive step when the document is combined with one or more other such documents, such combination being obvious to a person skilled in the art "&" document member of the same patent family
--	--

Date of the actual completion of the international search
27 August 2019 (27.08.2019)

Date of mailing of the international search report
10 September 2019 (10.09.2019)

Name and mailing address of the ISA/
Japan Patent Office
3-4-3, Kasumigaseki, Chiyoda-ku,
Tokyo 100-8915, Japan

Authorized officer

Telephone No.

INTERNATIONAL SEARCH REPORT

International application No.

PCT/JP2019/023390

C (Continuation). DOCUMENTS CONSIDERED TO BE RELEVANT

Category*	Citation of document, with indication, where appropriate, of the relevant passages	Relevant to claim No.
A	濱田 浩氣, ほか 2 名, キーに重複がある場合の秘密計算向け結合アルゴリズム, 2015 年暗号と情報セキュリティシンポジウム概要集, 20 January 2015, non-official translation (HAMADA, Koki et al., "Combination algorithm for secure calculation in case of a duplicate key", Summaries of the 2015 Symposium on Cryptography and Information Security)	1-4
A	JP 2014-139640 A (NIPPON TELEGRAPH AND TELEPHONE CORP.) 31 July 2014, (Family: none)	1-4
A	WO 2018/061800 A1 (NIPPON TELEGRAPH AND TELEPHONE CORP.) 05 April 2018 & CN 109791741 A	1-4

A. 発明の属する分野の分類（国際特許分類（IPC））

Int.Cl. G09C1/00 (2006. 01) i

B. 調査を行った分野

調査を行った最小限資料（国際特許分類（IPC））

Int.Cl. G09C1/00

最小限資料以外の資料で調査を行った分野に含まれるもの

日本国実用新案公報	1922-1996年
日本国公開実用新案公報	1971-2019年
日本国実用新案登録公報	1996-2019年
日本国登録実用新案公報	1994-2019年

国際調査で使用した電子データベース（データベースの名称、調査に使用した用語）

C. 関連すると認められる文献

引用文献の カテゴリーエ	引用文献名 及び一部の箇所が関連するときは、その関連する箇所の表示	関連する 請求項の番号
A	LAUR, Sven ほか2名, From Oblivious AES to Efficient and Secure Database Join in the Multiparty Setting, Applied Cryptography and Network Security, SpringerLink [online], 2013 [retrieved on 2019.08.28], Internet:<URL: https://link.springer.com/content/pdf/10.1007%2F978-3-642-38980-1_6.pdf > <DOI: 10.1007/978-3-642-38980-1_6>, p.84-101	1-4

☞ C欄の続きにも文献が列挙されている。

☞ パテントファミリーに関する別紙を参照。

* 引用文献のカテゴリ

- 「A」特に関連のある文献ではなく、一般的技術水準を示すもの
- 「E」国際出願日前の出願または特許であるが、国際出願日以後に公表されたもの
- 「L」優先権主張に疑義を提起する文献又は他の文献の発行日若しくは他の特別な理由を確立するために引用する文献（理由を付す）
- 「O」口頭による開示、使用、展示等に言及する文献
- 「P」国際出願日前で、かつ優先権の主張の基礎となる出願

の日の後に公表された文献

「T」国際出願日又は優先日後に公表された文献であって出願と矛盾するものではなく、発明の原理又は理論の理解のために引用するもの

「X」特に関連のある文献であって、当該文献のみで発明の新規性又は進歩性がないと考えられるもの

「Y」特に関連のある文献であって、当該文献と他の1以上の文献との、当業者にとって自明である組合せによって進歩性がないと考えられるもの

「&」同一パテントファミリー文献

国際調査を完了した日

27. 08. 2019

国際調査報告の発送日

10. 09. 2019

国際調査機関の名称及びあて先

日本国特許庁 (ISA/JP)

郵便番号 100-8915

東京都千代田区霞が関三丁目4番3号

特許庁審査官（権限のある職員）

吉田 歩

5S 1206

電話番号 03-3581-1101 内線 3546

C (続き) . 関連すると認められる文献		関連する 請求項の番号
引用文献の カテゴリー*	引用文献名 及び一部の箇所が関連するときは、その関連する箇所の表示	
A	濱田 浩気, ほか2名, キーに重複がある場合の秘密計算向け結合アルゴリズム, 2015年 暗号と情報セキュリティシンポジウム概要集, 2015.01.20	1-4
A	JP 2014-139640 A (日本電信電話株式会社) 2014.07.31, (ファミリーなし)	1-4
A	WO 2018/061800 A1 (日本電信電話株式会社) 2018.04.05, & CN 109791741 A	1-4